

(21) 活性汚泥法における汚泥発生量推定のための基礎的研究

北海道大学工学部 高桑哲男
同 ○寺町和宏

1はじめに

活性汚泥法による都市下水の処理により発生する下水汚泥の量について処理条件を厳密に規定した上で検討された例は少なく、たとえばBOD負荷量当りの汚泥発生量や下水処理水量当りの汚泥発生量に関する数値には不確かなものが多いようである。そこで本研究では、まずエアレーションプロセスの前駆プロセスとして最初沈殿池の水面積負荷を変化させて下水の沈殿実験を行い、最初沈殿池流出水のSS、BOD、CODの測定から、下水処理における生物分解プロセスへの有機物負荷とその水質組成に関して検討した。同時に下水中の浮遊性有機物の性質をBOD反応から検討し、浮遊性有機物の生物分解の可能性を明らかにした。次いで、より合理的な余剰汚泥の算定方法を考えるために、溶解性下水と浮遊性有機物濃度の異なる下水を用いた実験を回分式と連続流式の2つとおりで行い、浮遊性有機物の汚泥への転換率を明らかにするとともに、BODとCODを基準とした余剰汚泥発生量に関する基礎的な係数を示した。また、活性汚泥法における処理条件の違いによる初沈汚泥と余剰汚泥それぞれの発生割合および全下水汚泥量の増減の可能性について論究した。

2 BOD曲線からみた浮遊性有機物の生物分解性

通常の都市下水中有機物のうち浮遊物に由来する割合は約50%と大きい。したがって無機の土粒子の流入がなく有機性の割合が大きい初沈汚泥および余剰汚泥の発生量について考える場合、有機性浮遊物（以下SS）の最初沈殿池での除去とそのエアレーションタンクでの分解率の両方についての考察が必要となる。そこでまず、BODを生物分解性の指標と考え、2つとおりのふるい分け方法で得た下水のBOD曲線を求めることによってSSに由来するBODを比較検討した。

i) SSを粒径で分類した場合 住宅団地下水処理場（分流式、処理人口2万6千人、流達時間0.5~1.5時間）にて破碎機通過後の流入下水を採取し、350μのふるいを通して（下水A、SS=225mg/l）44μのふるいを通して（下水B、SS=105mg/l）およびワットマン濾紙GF/F(0.7μ)で濾過した溶解性下水（下水C）の3段階に分けた。

採水時刻が10時と12時の試料についての希釈法BOD曲線を図-1に示す。上段の図がBOD曲線であり、各下水で大きな差がみられる。下水Aから下水CのBODを差引いた(A-C)曲線がSSに由来するBOD（以下SS・BODと略記する）と考えることができ、SSに由来するBODは溶解性BODよりもやや高いことから、下水の全BODに占めるSS・BODの割合が相当なものであることがわかる。また、用いた下水のCODに対する下水CおよびSS(A-C)のBOD比の経日変化を示す下段の図より、浮遊性有機物と溶解性有機物のいずれについても全有機物に対するBOD反応量が等しいと言え、このことは両有機物成分の類似性をうかがわせる。

ii) SSを沈降速度で分類した場合 上向流円形最初沈殿池（直径55cm、容量110l、塩ビ製）を用い、

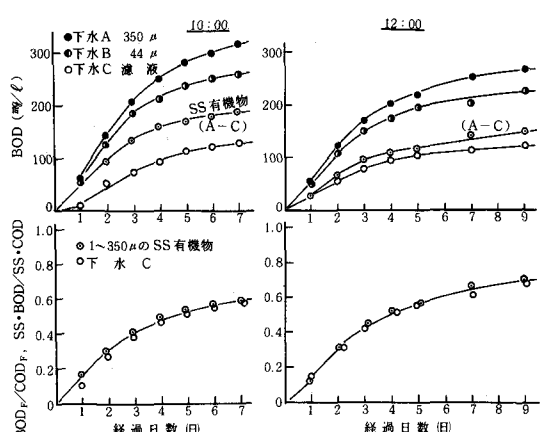


図-1 ふるい分けした下水のBOD曲線

水面積負荷の異なる最初沈殿池流出水（以下、沈後水と略記する）について同様な検討を行った。水面積負荷が 6、38 $m^3/m^2 \cdot 日$ のものを沈後水 Q_1 、 Q_2 、濾過したものを沈後水 Q_0 とする。BOD 曲線は図-2 に示すとおりであり、変化パターンは先の場合と同様であるが、SS・BOD が溶解性 BOD よりやや低い点が異なる。

iii) 沈後水の短時間BOD反応 以上 2 つの実験は BOD ピンを用いた 30~50 倍希釈という非常に薄く、かつ速度が遅い反応であったが、次に下水有機物濃度がより高い状態で行った BOD 反応について検討する。9 時、15 時、21 時に採取した下水の沈後水 Q_1 （水面積負荷 4.8 $m^3/m^2 \cdot 日$ ）、沈後水 Q_2 （46 $m^3/m^2 \cdot 日$ ）、沈後水 Q_0 （東洋濾紙 No.5 C）について、図-3 の装置を用いて微量な酸素消費速度の経時変化を調べた。この方法は最初に下水を曝気して溶存酸素濃度を高め、次いで密封状態でおよそ 1 時間毎に下水を採取し、溶存酸素濃度の変化を測定するものである。溶存酸素濃度が $1 mg/l$ 程度になったときは、あらかじめストックしておいた各下水を再び曝気して溶存酸素濃度を高めた。下水はスターーラーにより 10 分間に 30 秒の割合で攪拌をした。

希釈倍率と植種条件は、9 時と 21 時に採取した下水については 4 倍希釈で実プラントの活性汚泥を $20 mg/l$ 植種し、16 時の下水は 3 倍希釈で無植種とした。水温は $20 \pm 2^\circ C$ とした。各下水の水質を表-1 に、実験結果を図-4 に示す。図中の破線は沈後水 Q_2 、 Q_1 と溶解性下水 Q_0 との差を表す。ただし (ロ) の実験では沈後水 Q_0 の反応にラグがみられたので図に示したように時間軸を移動させた。図の結果より、SS・BOD が存在することは先の例と同様であるが、沈後水 Q_0 との比較ではかなり小さな値を示している。しかしながら BOD₅ に対する溶解性 BOD と SS・BOD の割合を示した図-5 では、たとえば反応 7 時間ににおける Q_0 の BOD に対する SS・BOD の割合はいずれの時刻に採取した下水についても

およそ 2 分の 1 の値を示していることから初期の浮遊性有機物の分解速度は溶解性有機物の約 % の大きさであると考えることができる。また、

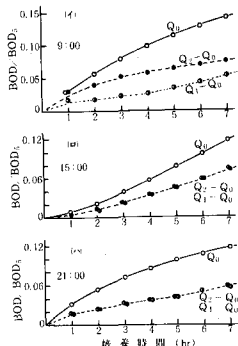


図-5 短時間BODとBOD₅の関係
BOD₅との関係

採水時刻	下水の種類	BOD ₅		COD mg/l	BOD/COD (%)
		SS mg/l	BOD mg/l		
9:00	Q_0	0	273	366	0.75
	Q_1	91	352	487	0.72
	Q_2	243	447	589	0.76
	$Q_1 - Q_0$	91	79	121	0.65
	$Q_2 - Q_0$	243	140	223	0.78
16:00	Q_0	0	164	269	0.61
	Q_1	74	243	340	0.71
	Q_2	125	288	397	0.73
	$Q_1 - Q_0$	74	50	71	0.70
	$Q_2 - Q_0$	125	95	128	0.74
21:00	Q_0	0	261	363	0.72
	Q_1	78	340	475	0.72
	Q_2	146	401	563	0.71
	$Q_1 - Q_0$	78	79	112	0.71
	$Q_2 - Q_0$	146	174	200	0.70

表-1 実験に用いた下水の水質

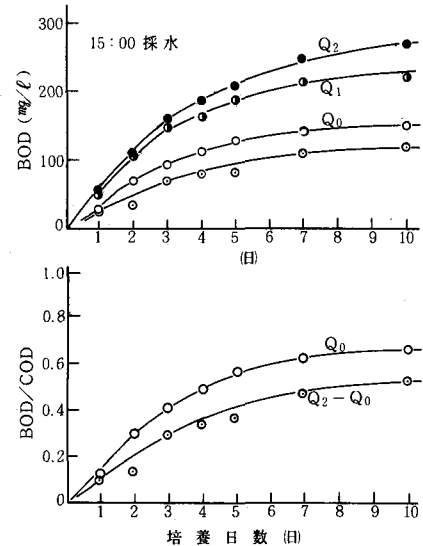


図-2 沈降速度で分けた下水のBOD曲線

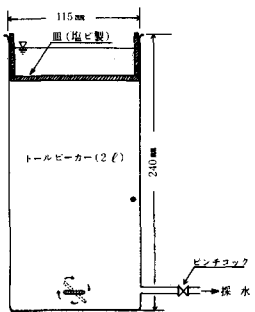


図-3 短時間BOD曲線の測定装置

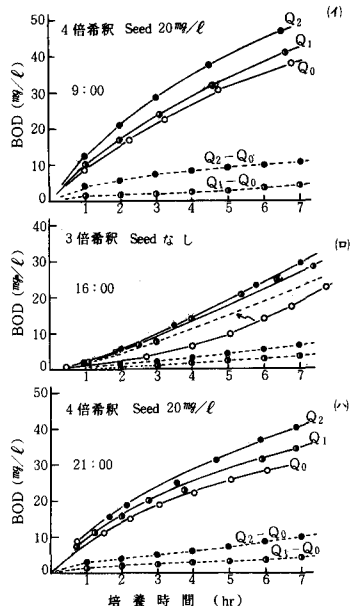


図-4 下水の短時間BOD曲線

表一に示してあるように BOD/COD 比がいずれの沈後水についても 0.7 前後とほぼ一定値を示していることから、 BOD を微生物による易分解性有機物の尺度と考えれば、沈降速度が $48 \text{ m}/\text{日}$ 以下の浮遊性有機物と溶解性有機物における易分解成分の割合はほぼ等しいことを表しているとみなすことができよう。さらに、他のデータを加えて BOD と COD の相関を示した図一 6 より溶解性成分 Q_0 と SS を含む Q_1 および Q_2 の間に質的には大きな差がないと言うことができる。

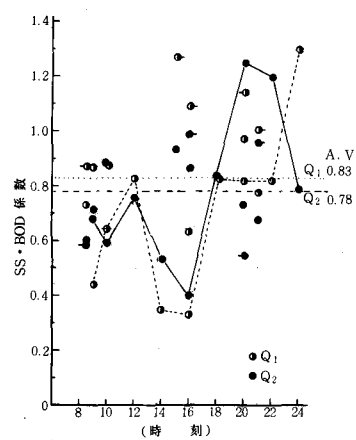
3 単位 SS 当りの BOD と水面積負荷の違いによる沈後水の水質変化

単位 SS 量に対する SS 由来 BOD の割合を濃度比で表し、これを SS・BOD 係数と呼ぶことにする。その値を沈後水 Q_1 、 Q_2 に分け、表一のデータの他に本研究を通して得られたデータとともに図一 7 に示す。SS・BOD 係数の平均値は沈後水 Q_1 で 0.83、 Q_2 で 0.78 と得られた沈後水 Q_1 の

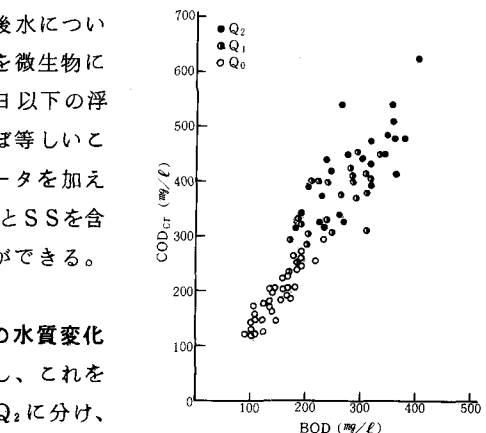
値が Q_2 にくらべてやや高いのは粒径が小さいためと考えられるが、粒径の大きな SS をも含む Q_2 とくらべてその差は大きいとは言えない。

次に、最初沈殿池の水面積負荷を広範囲に変化させて得られる沈後水の SS、 BOD 、 COD を調べ曝気槽への流入負荷を量と質の観点から検討する。家庭下水の代表的な水質を示す

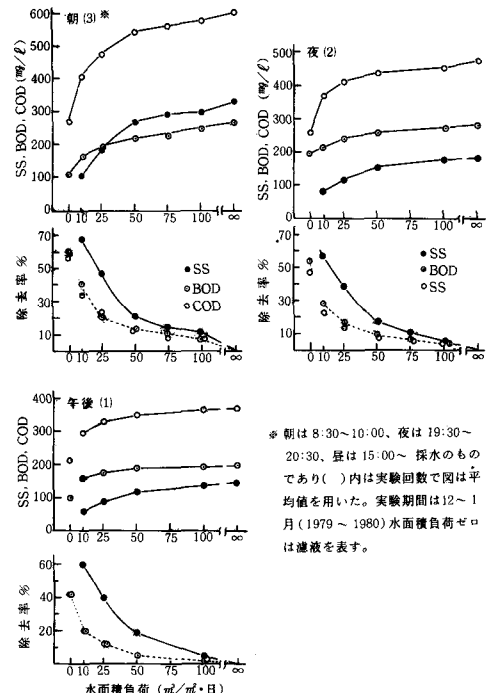
試料を得るように、採水時刻として 8:30～15:00～19:30～の時間帯を選び、計 6 回の実験を行った。実験用下水は、流入下水を約 500ℓ のポリタンクに汲み上げ、それを定量ポンプで水面負荷が 100、75、50、25、10 ($\text{m}^3/\text{m}^2 \cdot \text{日}$) となるように水量の大きい方から順に沈殿池へ通すことによって得た。図一 8 の結果 (○は濾液○は原水の水質を示す) より、水面積負荷が $25 \text{ m}^3/\text{m}^2 \cdot \text{日}$ までは BOD と COD の変化が大きく、 $50 \text{ m}^3/\text{m}^2 \cdot \text{日}$ までは SS の変化が大きいと言える。また、原水に対する除去率は下水濃度が高い朝の下水が最も大きく、下水濃度が低い夜の下水が最も小さい値となっている。これら三つの時刻別除去率の平均値を一応の家庭下水一日の除去率代表値として曝気槽への負荷割合を求めたのが図一 9 である。図の結果より、水面積負荷の違いは単に曝気槽への有機物負荷量を変えるのみでなく、下水成分の構成自体を変化させることがわかる。次に同じ実験をもとに水面積負荷の違いによる SS・BOD



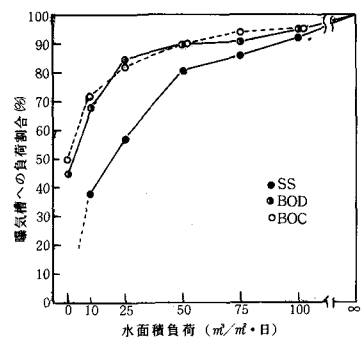
図一 7 SS・BOD 係数の通日変化



図一 6 $BOD-COD_{cr}$ 相関



図一 8 水面積負荷と越流水の水質



図一 9 水面積負荷と曝気槽への負荷割合

係数、SS・COD係数およびSS・BOD/SS・COD比の変化を図-10に示す。水面積負荷が小さくて粒径が小さいと考えられる流出水のSS・BOD係数のほうがやや高い傾向にある。しかしながら先に図-7に示した結果と同様にその変化幅は小さい。また、SS・COD係数(SSに対するSS由来CODの濃度比)もSS・BOD係数とほぼ同様の傾向にあると言える。さらに、両係数とも水面積負荷が $50\text{ m}^3/\text{m}^2\cdot\text{日}$ を超えて減少する傾向を示さないことをから、この領域ではSSの性質に大きな差がないと考えることができよう。なお、6回の実験中でSS・BOD係数が最も小さいのは図(口)の10~10:30採取水の場合であり、これはVSS%が他のものにくらべて最も低いためであり、その原因は小降雨による土粒子の影響と考えられる。次に、下段の図に示したSS・BOD/SS・COD比は浮遊性有機物のうちに生物分解可能物質の占める割合と考えることができ、上記の下水を例外として除けば、その値は0.2~0.5の範囲にある。換言すれば、浮遊性有機物は最大で20~50%が分解可能と言える。

4 回分実験による汚泥生成量に関する検討

前節までにおいて検討したものとほぼ同様の沈後水Q_o(東洋濾絶No.5Cで濾過)

Q₁(表面負荷率 $10\text{ m}^3/\text{m}^2\cdot\text{日}$)

Q₂($50\text{ m}^3/\text{m}^2\cdot\text{日}$)の3種類の下水を基質として回分実験を行い、エアレーション前後でのMLSS、BOD、COD等の物質収支をとることにより、次式によって汚泥生成量に関する検討を行った。

$$4S = aLr - bX \quad (1)$$

4S:みかけの(observed)

汚泥生成量 [$\text{mg}/\ell \cdot \text{hr}$]

a: 真の汚泥転換率 [-],

Lr: 基質除去量 [$\text{mg}/\ell \cdot \text{hr}$],

b: 自己酸化係数 [1/hr],

X: 活性汚泥濃度 MLSS [mg/ℓ] 実験条件の概略は曝気槽容積 10ℓ 、曝気時間5時間、沈殿時間1~2時間、水温 20°C である。用いた下水の水質を表-2に、実験結果を表-3に示す。(1)式をもとに算出した表-3の結果より、BODとCOD除去量当りのみかけの汚泥生成量は図-11のようになる。ただし、処理水濁液中にはBODが残存せず100%除去されたものとして算出した。図の回帰傾向の傾きは(1)式におけるa値を表し、各回分実験結果の平均値を図示してある。a値の大きさの順がBODとCOD基準のいずれでも $a_2 > a_1 > a_0$ となっていることは、Q₂系のSS・BOD係数がQ₁系のSS・BOD係数より小さいこと

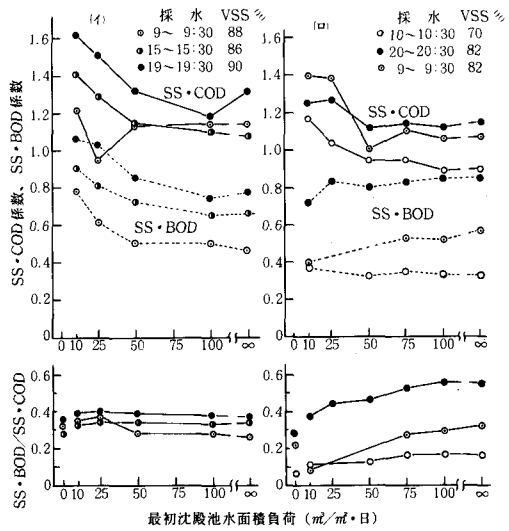


図-10 水面積負荷とSS・BOD係数、SS・COD係数

	M (kg)	R (kg)	R' (kg)	Lr BOD (mg/ℓ)	ΔS (mg/ℓ)	bX ($\text{mg}/\ell \cdot \text{hr}$)	bN ($\text{mg}/\ell \cdot \text{hr}$)	aLr ($\text{mg}/\ell \cdot \text{hr}$)	aLr' ($\text{mg}/\ell \cdot \text{hr}$)	aLr/bX (hr^{-1})	Lr COD (mg/ℓ)	Z (%)	
W_{12} 10:00													
Q ₁	892	894	102	62	9	38	100	0.93	93	68	161	188	14.4
Q ₁	832	990	136	158	9	38	106	0.93	182	76	236	243	6.2
Q ₁	832	1,015	154	183	9	38	222	0.93	206	85	291	265	9.8
W_{12} 20:00													
Q ₁	801	900	140	99	12	46	145	0.95	139	67	206	227	9.3
Q ₁	879	1,030	180	151	14	62	213	0.92	196	76	272	302	9.9
Q ₁	861	950	197	149	16	65	214	1.05	230	85	305	358	14.8
W_{13} 8:30													
Q ₂	753	850	150	97	14	46	143	1.03	147	56	203	240	15.4
Q ₂	859	1,030	206	171	17	64	235	1.08	254	87	341	356	4.2
Q ₂	779	990	227	211	20	76	287	1.11	318	90	408	384	5.9
W_{13} 20:00													
Q ₁	491	622	222	131	15	37	168	1.05	176	59	235	257	8.6
Q ₁	458	656	290	198	14	33	231	1.07	247	73	320	344	7.0
Q ₁	314	390	341	276	14	21	297	1.13	336	71	407	437	6.9
W_{14} 5:30													
Q ₁	479	576	176	97	17	41	138	1.08	149	56	205	204	0.5
Q ₁	526	700	262	172	14	37	209	1.08	226	87	313	338	7.4
Q ₁	576	776	229	204	14	39	338	1.06	336	84	422	382	10.5
W_{14} 15:00													
Q ₁	496	582	130	86	17	42	128	1.04	133	47	180	172	4.7
Q ₁	610	731	187	121	14	43	164	1.03	169	68	237	244	2.9
Q ₂	742	909	211	167	16	58	225	1.07	241	56	299	306	2.3
W_{14} 20:00													
Q ₂	524	638	211	114	17	42	156	1.03	161	51	312	223	8.6
Q ₁	630	789	272	159	14	45	244	1.06	264	71	335	310	8.1
Q ₂	755	973	284	218	15	59	277	1.07	296	73	370	379	2.4
W_{15} 8:30													
Q ₁	600	726	220	126	17	48	174	1.10	191	73	261	253	4.4
Q ₁	659	854	316	195	14	47	242	1.10	266	97	363	358	1.4
Q ₂	823	1,138	385	315	16	64	379	1.10	417	101	518	522	1.0

*: エアレーション時間における全溶解量より内呼吸量を引いた値
Lr: 基質除去量、△S: みかけの内呼吸量、b: 自己酸化係数、aLr: 自己酸化量、aLr': 内呼吸酸化量

表-2 回分実験に用いた下水の水質

表-3 回分実験結果の諸数値

(図-7 参照) から類推することができ、妥当な結果であろう。しかしながら Q_2 系と Q_0 系で α 値の差は大きいとは言えず、このことは SS の分解程度が大きいことを予想させる。なお、MLVSS % は 84 ~ 90 % の範囲にあって変化幅が小さいので汚泥生成量は MLSS のまま扱った。

次に、沈後水中の SS がどの程度分解するかを検討する。今、沈後水 Q_0 系における溶解性有機物除去量を Q_0 、沈後水 Q_1 中の浮遊性有機物量（これは 100 % 除去されて汚泥になると考える）を Q_1^{ss} 、 Q_1^{ss} の真の汚泥転換率を α_1^{ss} とし、各汚泥生成に関して加法性が成り立つと仮定すれば、(1)式と同様に

$$\Delta S_0 = \alpha_0 Q_0 - b_0 X_0 \quad (2)$$

$$\Delta S_1 = \alpha_0 Q_0 + \alpha_1^{ss} Q_1^{ss} - b_1 X_1 \quad (3)$$

となる。 Q_1^{ss} に由来するみかけの汚泥生成量 $\Delta S_1^{ss} = \Delta S_1 - \Delta S_0$ であるから

$$\Delta S_1^{ss} = \alpha_1^{ss} Q_1^{ss} - b_1 X_1 + b_0 X_0 \quad (4)$$

ここで表-3 より b_0 と b_1 および X_0 と X_1 に大きな差がないので、 $b_0 X_0 - b_1 X_1 \ll \alpha_1^{ss} Q_1^{ss}$ と考えることができ、(4)式は

$$\Delta S_1^{ss} \approx \alpha_1^{ss} Q_1^{ss} \quad (5)$$

と簡略化することが可能である。ここで Q_1^{ss} は既知であり、 ΔS_1^{ss} は ΔS_0 が求まれば計算できる。式(2)の代わりに溶解性有機物由来のみかけの汚泥転換率 α'_0 によって表現した式

$$\Delta S_0 = \alpha'_0 Q_0 \quad (6)$$

を用いることにはすれば、 α'_0 の値は BOD と COD 基準について図-12 のようになる。 α'_0 の平均値 0.46 (COD 基準) を各回分実験結果に適用して算出した ΔS_1^{ss} を縦軸に、 Q_1^{ss} を横軸にとってプロットすると図-13 となり、 $\alpha_{1,2}^{ss}$ は平均値で 0.79 と得られた。最後に表-3 に示した COD 除去量と呼吸量の関係について述べる。各回分実験のエアレーション過程で除去された COD は

COD 除去量 (= 初期 COD - 残存溶解性 COD)

$$= 汚泥に転換した COD + 基質呼吸量 \quad (7)$$

= 真の汚泥生成量 × 汚泥の COD 当量 + 基質呼吸量と表すことができ、本式で計算した酸素収支の誤差は表の最右欄のようになる。10 % 以上の誤差もみられるが、多くは 10 % 以内にとどまっている。

5 連続流パイロットプラント実験による汚泥発生量の検討

先に述べた住宅団地下水処理場に設置した 2 系列の連続流パイロットプラントで前節と同様の検討を行った。用いた沈後水は Q_1 系（表面負荷率 $10 \text{ m}^3 / \text{m}^2 \cdot \text{日}$ ）、 Q_2 系 ($50 \text{ m}^3 / \text{m}^2 \cdot \text{日}$) である。実験装置の概略を図-14 に示す。曝気槽容積 40ℓ 、最終沈殿池容積 30ℓ 、汚泥返送率 $25 \sim 30 \%$ 、水温 20°C 、溶存酸素濃度は 2 mg 以上保つように空気量を調節した。実験は 4 回行い、それらの条件と結果の一部を

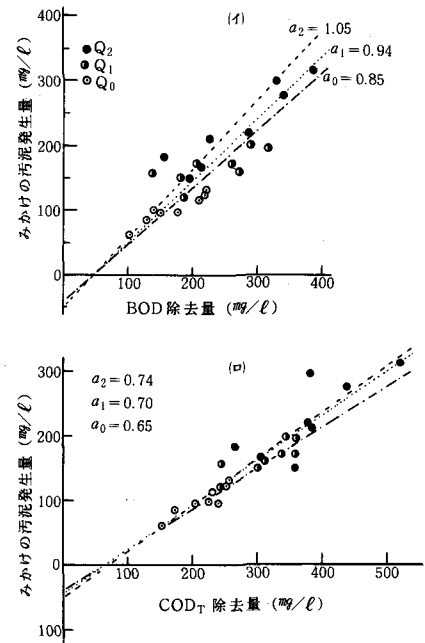


図-11 BOD、COD 除去量とみかけの汚泥発生量の関係

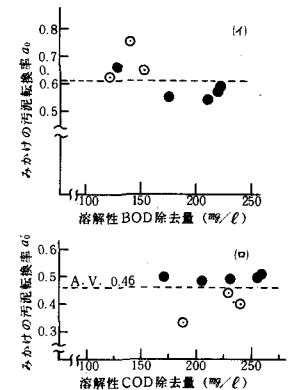


図-12 溶解性 BOD、COD 除去量とみかけの汚泥転換率

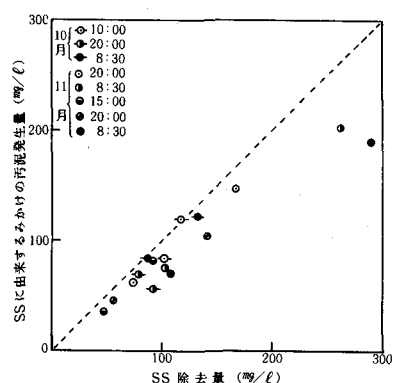


図-13 SS 除去量とみかけの SS 由来汚泥発生量

表-4に示す。まず、プラントの運転状態は図-15に一例を示すように、MLSSの変動が大きい。これは余剰汚泥引抜量の不整や曝気槽と終沈をつなぐパイプのつまりによる混合液の流出など種々のトラブルによるものである。ただし、汚泥の沈降性は全実験期間を通じて良好であった。みかけの汚泥発生量は毎日の余剰汚泥引抜量とMLSSの変動より算出し、Run IからRun IVまでの結果をまとめて図16に示す。(1)式による真の転換率の算術平均は Q_1 系で0.59、 Q_2 系で0.63と得られた。前節の回分実験の値とくらべて約0.1小さい値であるが、この理由の一つとして、連続流プラント実験における自己酸化係数はMLSSの経時変化から求めたのに対し、回分実験における自己酸化係数は内生呼吸速度から間接的に求めたものであることが考えられる。また、真の転換率が $a_2 > a_1$ であることは回分実験の場合と同様であるが、みかけの汚泥発生量に顕著な差異がみられないのは表-4に示してある各RunのCOD-SS負荷の違いがRun IVの Q_2 系を除いてそれ程大きいものではないためと考えることができる。

次に、自己酸化係数とみかけの汚泥発生量から求めた真の汚泥発生量の経日変化の一例を図-17に示す。真の汚泥発生量は大きく変動しているが、図-15に示したように沈後水中のCODやSS濃度の変動は小さく、また、表-5に示すRun IIの期間中に3回測定した自己酸化係数の変化が小さいことから、この真の汚泥発生量の変動は実験誤差と考えられる。一方、前節で示した(6)式にもとづき、SS由来のみかけの汚泥発生量とSS除去量の関係を示したのが図-18である。また、SS由来の真の転換率 a_1^{ss} と a_2^{ss} の平均値はともに0.82と得られた。この値は回分実験結果より得られた数値とよく一致している。ここで

SS-COD係数を図

-10より1.1とすれば、COD基準の値としては $0.82/1.1=0.75$ となる。これに対して、溶解性有機物に由来するCOD基準の真の転換率は図-11(口)より0.65であるから、ここでも浮遊性有機物と溶解性

(hr^{-1}) $\times 10^{-3}$

	7/7	7/12	7/19
Q_1 系	4.9	4.9	5.3
Q_2 系	4.6	4.9	5.2

表-5 自己酸化係数
(Run II)

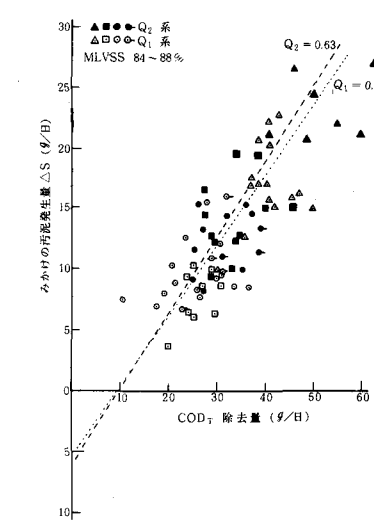


図-16 COD除去量とみかけの汚泥発生量

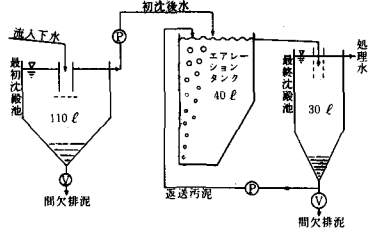


図-14 連続流パイロットプラント

Run No	エアージュ時間 (hr)	曝気槽流入COD (kg/d)	MLSS (kg/d)	処理水COD (kg/d)	COD-SS負荷 (kgSS/kgMLSS-E)	自己酸化係数 (hr^{-1}) $\times 10^3$	汚泥発生率 (%)COD	
I	4 Q ₁ Q ₂	180 210	47 76	1,440 1,530	39 38	0.76 0.82	4.2 3.9	0.56 0.57
II	4 Q ₁ Q ₂	255 316	68 115	2,160 2,150	37 41	0.71 0.88	5.0 4.9	0.63 0.59
III	6 Q ₁ Q ₂	269 310	80 120	1,510 2,250	54 45	0.65 0.49	3.8 3.5	0.55 0.65
IV	10 Q ₁ Q ₂	245 280	81 128	1,500 2,550	42 40	0.43 0.29	2.9 3.1	0.61 0.69

表-4 連続流実験条件と結果

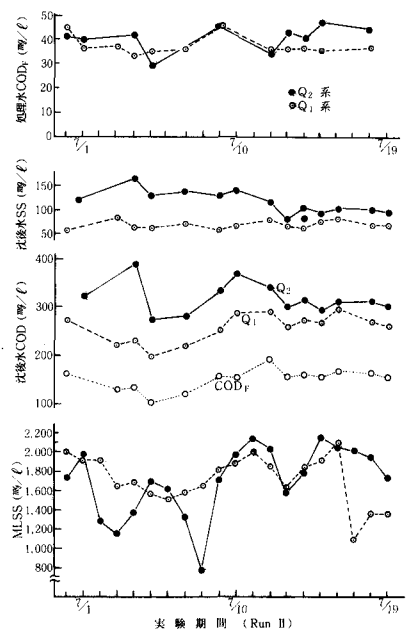


図-15 プラント運転状況

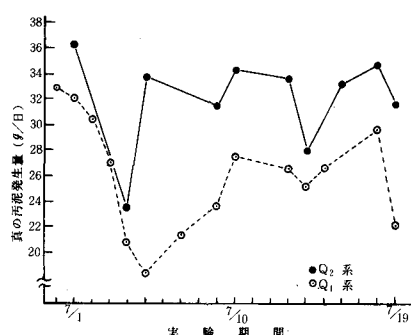


図-17 真の汚泥発生量の日変化

有機物ではその分解の程度に大きな差がないことが明らかである。

ところで、真の転換率が一定であるとすれば、余剰汚泥発生量は主に(1)式右辺の bX 項が問題となり、 X が一定とすれば自己酸化係数 b の値が αS を決定することになる。 b 値は細胞内基質量や汚泥令あるいは生物相と関係する因子であるから Run I ~ Run IV で得られた b 値を有機物負荷の関係と考えてプロットすると図-19 のようになる。 b 値と COD-SS 負荷の間にやや正の相関がみられるが、その変化は小さい。そのような COD-SS 負荷に対して b 値が大きく変化しないという傾向は、曝気槽で汚泥ができるだけ分解し減少させようとする場合に重要であろう。最後に、3, 4 節で得られた真の汚泥転換率を COD-SS 負荷に対してプロットすると図-20 のようになる。 α 値は COD-SS 負荷とは無相関であることおよび回分式実験で得られた α 値が連続流プラントで得られた値よりも大きいことが明らかである。後者の理由は確かではないが回分式実験における b 値を決めるために使用される汚泥の COD 当量がやや低めに測定されているためと考えている。

6 汚泥発生量に関する試算

前節までに得られた数値にもとづいて活性汚泥法における初沈汚泥および余剰汚泥の発生量に関する試算を行い、下水汚泥量の減少の可能性について検討する。最初沈殿池での除去率には図-8 のデータを用い、流入下水と曝気槽の条件は、流入下水の COD 450 mg/l、SS 250 mg/l 流入下水量 240 l/日、曝気槽容積 60 l、曝気滞留時間 6 時間、水温 20°C、曝気槽での COD 除去率は一律 90% とする。また、MLSS は 2,000 mg/l で一定に保たれると仮定する。(1)式における汚泥の真の転換率 α は前節の連続流プラント実験で得られたものを用いることとし、水面積負荷が 25 m³/m²・日以下では Q_1 系の 0.59、それを超えた領域では Q_2 系の 0.63 を採用し、自己酸化係数は図-19 より 5×10^{-3} (1/hr) を選んだ。試算結果を図-21 (イ) に示す。また、長時間曝気法を想定して、曝気滞留時間を 18 時間、MLSS を 4,000 mg/l とし、さらに自己酸化係数を 3×10^{-3} (1/hr) に変えて計算した結果を同図 (ロ) に示す。図 (イ)、(ロ) のいずれも、水面積負荷が 50 m³/m²・日以下で全汚泥量の減少が大きい。また、最初沈殿池がない状態で考えると、(イ) の場合は全汚泥は 10 m³/m²・日の値を 100 とすれば 27% 減、(ロ) の場合は 40% 減となっている。一方、初沈汚泥と余剰汚泥の割合をみると (イ) の場合 18 m³/m²・日付近でそれぞれが同比率になるのに対し、(ロ) の場合は余剰汚泥の発生量が相対的に多いため 35 m³/m²・日付近で同比率となっている。

次に、実際の都市下水処理場でみられるような自己酸化係数 b 値の変化を考慮した上で、曝気滞留時間が

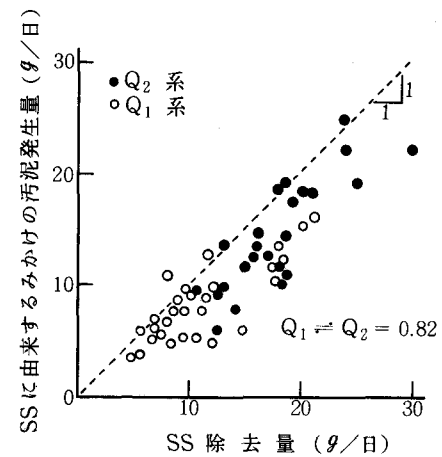


図-18 SS 除去量とみかけの SS 由来汚泥発生量

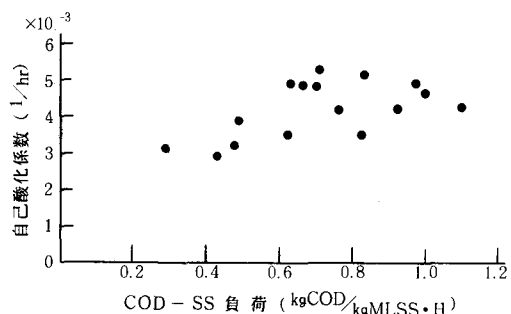


図-19 COD-SS 負荷と自己酸化係数

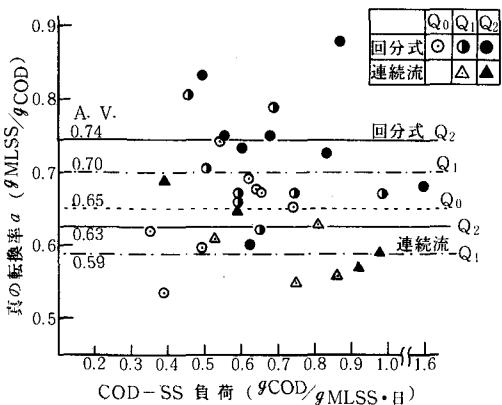


図-20 COD-SS 負荷と真の汚泥転換率

汚泥発生に及ぼす効果を調べてみる。 b 値が変化する原因としては水面積負荷の増大による COD-S S 負荷の増大や曝気滞留時間の延長による COD-S S 負荷の減少があげられる。前と同様の流入下水を用い水面積負荷を $50 \text{ m}^3/\text{m}^2\cdot\text{日}$ 、MLSS $2,000 \text{ mg/l}$ と固定した場合について、 b 値を曝気滞留時間が $4 \sim 8$ 時間では 3×10^{-3} 、 12 時間では 2.5×10^{-3} 、 $16 \sim 20$ 時間では 2×10^{-3} ($1/\text{hr}$) と変えて計算した結果を図-22 に示す。ただし、COD と BOD への換算は図-6 を参考にして $\text{COD } 450 = \text{BOD } 340 \text{ mg/l}$ とした。図の結果より、曝気滞留時間の増大とともに余剰汚泥発生量が減少することが示されている。ただし、 $4 \sim 8$ 時間での b 値は通常の都市下水処理場における値であるが、 12 時間以降の b 値は全くの推定値である。したがって、今後は COD-S S 負荷あるいは BOD-S S 負荷の違いによる自己酸化係数の変化について活性汚泥の生物相を含めたより広範な検討が必要であろう。

7 おわりに

活性汚泥法による下水汚泥の発生量について、家庭下水を用いた実験にもとづいて検討した結果を以下にまとめる。

1) 沈後水中の浮遊性有機物に由来する BOD の濃度は溶解性 BOD と同程度であるが、短時間 BOD

反応からみた分解量は溶解性 BOD の約 $\frac{1}{3}$ である。

2) VSS が 80% 以上のとき、S S に対する S S 由来の BOD の比率 (S S - BOD 係数) は $0.3 \sim 1.3$ の範囲で変化するが、平均的には $0.6 \sim 1.0$ の範囲にあるものが多い。また、粒径が大きいと考えられる S S の S S - BOD 係数はやや低くなる傾向があるが、大きく低下することはない。

3) 回分式および連続流実験の結果から、S S に由来する S S 基準の汚泥への真の転換率はおよそ 0.8 であった。

4) 溶解性下水に由来する COD 基準の汚泥への真の転換率は 0.65、水面積負荷が $50 \text{ m}^3/\text{m}^2\cdot\text{日}$ 以下における S S を含む下水ではおよそ $0.6 \sim 0.7$ の範囲にあると考えることができる。また、BOD 基準では上記の値を約 0.75 で除した値となる。

5) 水面積負荷が $10 \text{ m}^3/\text{m}^2\cdot\text{日}$ でしかも通常の処理条件で発生する汚泥量にくらべて、水面積負荷をできるだけ大きくした高負荷運転が可能であれば、全下水汚泥 (初沈汚泥 + 余剰汚泥) で最大 27% の減少が期待できるという試算結果を得た。さらに、長時間エアレーション方式を考えると、同じく最大 60% まで減少させることが可能であると予想された。

最後に、本研究を行うにあたり多大な御便宜を受けた北海道江別市大麻団地下水処理場の皆様に厚く謝意を表す。

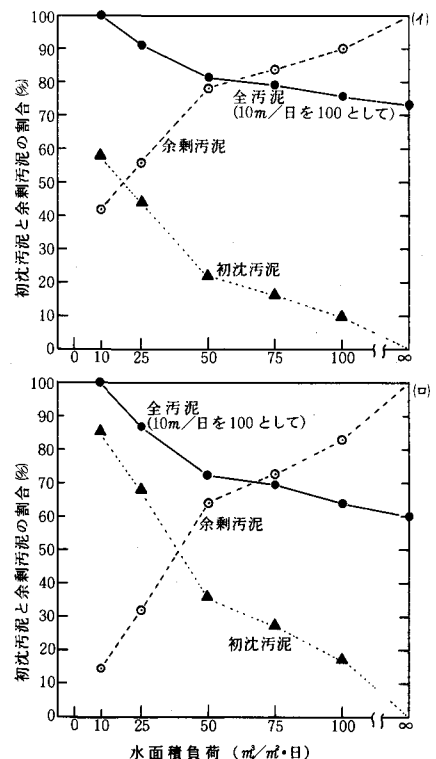


図-21 最初沈殿池水面積負荷と汚泥発生量の割合

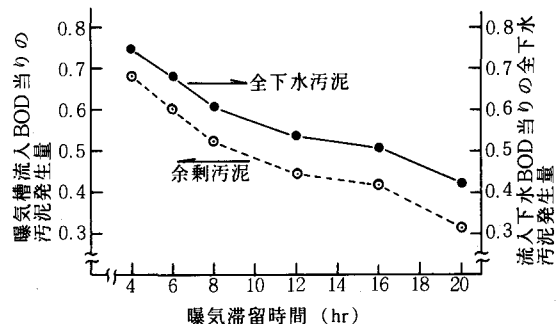


図-22 曝気滞留時間と汚泥発生量の変化 (試算)